

CVPR 期末复习

强基数学 002 吴天阳

1 图像处理

1.1 卷积与互相关

定义 1. 设 $f \in \mathbb{R}^{M \times N}$ 为灰度图像, 用 $f(m, n)$ 表示 f 中 m 行 n 列的像素, **卷积核 (滤波核)** 为 $w \in \mathbb{R}^{2k+1, 2k+1}$, 卷积核 w 的下标范围为 $[-k, k]^2$, 则 w 与 f 的**互相关** $S[f]$ 在 (m, n) , $(1 \leq m \leq M, 1 \leq n \leq N)$ 处的定义为

$$S[f](m, n) = \sum_{i=-k}^k \sum_{j=-k}^k w_{ij} f(m+i, n+j)$$

记为 $w \otimes f(m, n) := S[f](m, n)$.

w 与 f 的**卷积** $T[f]$ 在 (m, n) , $(1 \leq m \leq M, 1 \leq n \leq N)$ 处的定义为

$$T[f](m, n) = \sum_{i=-k}^k \sum_{j=-k}^k w_{ij} f(m-i, n-j)$$

记为 $w * f(m, n) := T[f](m, n)$.

注: 在卷积或互相关中对于 $f(i, j)$ 未定义的部分, 默认使用零进行填补 (**零填充**), 即 $f(i, j) = 0$, $(i \notin [1, N], j \notin [1, M])$, 所以上述卷积和互相关的有另一种表示方法,

$$\begin{aligned} w * f(m, n) &= \sum_{i \in \mathbb{Z}} \sum_{j \in \mathbb{Z}} w_{ij} f(m-i, n-j) \\ w \oplus f(m, n) &= \sum_{i \in \mathbb{Z}} \sum_{j \in \mathbb{Z}} w_{ij} f(m+i, n+j) \end{aligned}$$

将结果限制到 $[1, N] \times [1, M]$ 区域上即可得到与上述定义中相同的结果.

卷积与互相关的性质 卷积与互相关可相互转换, 将 w 按照上下对称, 左右对称 (旋转 180°) 后得到的结果记为 $\text{rot180}(w)$, 则 $w * f = \text{rot180}(w) \otimes f$. 所以卷积与互相关具有很多类似的性质, 下面我们仅讨论卷积的性质.

设 $f, g \in \mathbb{R}^{M \times N}$ 为灰度图像, $v, w \in \mathbb{R}^{2k+1, 2k+1}$ 为卷积核, $a, b \in \mathbb{R}$ 为常数.

1. 线性性:

$$\begin{aligned} w * (af + bg) &= a(w * f) + b(w * g), \\ (aw + bv) * f &= a(w * f) + b(v * f). \end{aligned}$$

2. 平移等变性: 设 f 平移后的图像为 $f'(m, n) = f(m - m_0, n - n_0)$, 则

$$(w * f')(m, n) = (w * f)(m - m_0, n - n_0)$$

3. 交换律: $w * f = f * w$.

4. 结合律: $v * (w * f) = (v * w) * f$.

5. 时间复杂度: 图像大小为 $M \times N$, 滤波核大小为 $(2k+1) \times (2k+1)$, 则直接计算卷积的时间复杂度为 $O(MN(2k+1)^2)$.

定义 2 (等变性与不变性). 设图像空间 $I = \mathbb{R}^{M \times N}$, 作用在图像上的某类变换群 T .

$\forall I_1 \in I, T_1 \in T$, 由于 T 是图像上的变换群, 所以 $T_1: \mathbb{R}^{M \times N} \rightarrow \mathbb{R}^{M \times N}$, 若算子 $\phi: I \rightarrow F$ 满足, 存在 F 上的变换 $S: F \rightarrow F$, 使得

$$S[\phi(I_1)] = \phi[T_1(I_1)], \quad (\forall T_1 \in T)$$

$$\text{或当 } I = F \text{ 时, } T_1[\phi(I_1)] = \phi[T_1(I_1)], \quad (\forall I_1 \in I, \forall T_1 \in T)$$

则称 ϕ 具有**等变性 (Equivariance)**.

等变性的特例, S 为恒等变换时, 下式成立, 则称 ϕ 具有**不变性 (Invariance)**,

$$\phi(I_1) = \phi[T_1(I_1)], \quad (\forall I_1 \in I, \forall T_1 \in T)$$

例 1. 设图像为 $f \in I$, 全体平移变换构成平移变换群 T , 给定卷积核 w ; 算子 $\phi: I \rightarrow I$ 定义为 $\phi(f) = w * f$, $\forall T_1 \in T$, 令 $T_1(f)(m, n) = f(m - m_0, n - n_0)$, 由卷积性质可知

$$(w * T_1 f)(m, n) = (w * f)(m - m_0, n - n_0) = T_1(w * f) \iff \phi(T_1 f) = T_1 \phi(f)$$

所以称卷积具有平移等变性.

假设算子 $\tau: I \rightarrow \{0, 1\}$ 表示当图像 $f \in I$ 中存在至少一条边, 则 $\tau(f) = 1$, 否则 $\tau(f) = 0$; 光强变换群 T , $\forall T_1 \in T$, $T_1(f)$ 将图像 f 中的每个像素值做线性变换 $f(m, n) \leftarrow af(m, n) + b$. 我们知道, 图像的亮度改变不会对图像中边的位置进行变化, 则

$$\tau(f) = \tau[T_1(f)]$$

所以称算子 ϕ 对光强变换具有不变性.

1.2 图像填充

对于图像的边界填充可以使得卷积前后的大小保持一致, 如果要求卷积核完全作用在图像内部, 即 $\forall i, j \in [-k, k]$ 有 $m - i \in [1, M], n - j \in [1, N]$, 则 $m \in [1 + k, M - k], n \in [1 + k, N - k]$, 所以卷积后的图像大小为 $(M - 2k) \times (N - 2k)$, 比原有图像少了 $2k$ 行和 $2k$ 列.

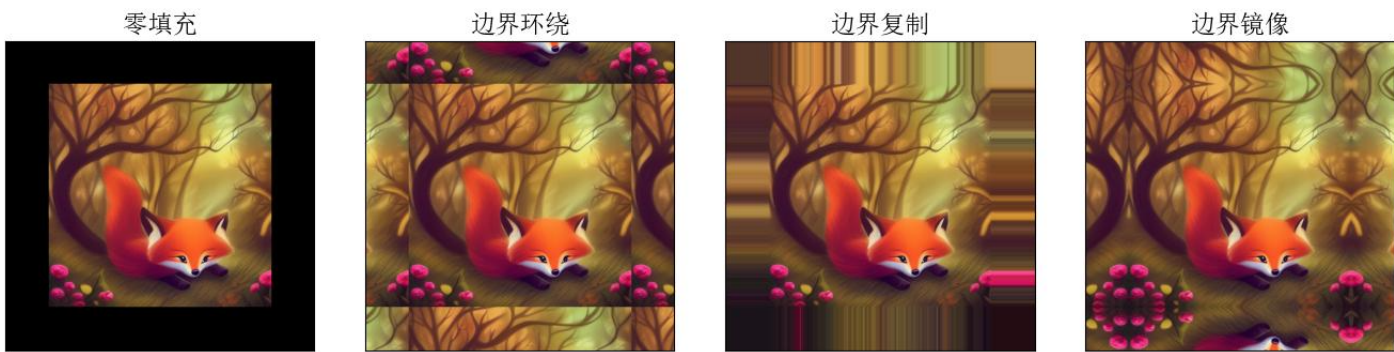
如果我们将原图的上下各加 k 行, 左右各加 k 行, 则可以使得卷积后的图像大小仍然为 $M \times N$, 那么对于增加的像素填充的内容就称为**图像填充 (padding)**, 常用填充有以下四种方法:

- 零填充: 全部用 0 进行填充.
- 环绕填充: 将图像进行平移得到填充结果.
- 边界填充: 用图像中距离待填充像素最近的像素值进行填充.
- 镜像填充: 以图像边界进行镜像得到填充结果.

1.3 Gauss 滤波器

设一维标准差为 σ , 均值为 $\mu = 0$ 的 Gauss 函数为 $G_\sigma(x) = \frac{1}{\sqrt{2\pi}\sigma} e^{-\frac{x^2}{2\sigma^2}}$, 则二维各向同性标准差为 σ 且均值 $\mu = (0, 0)$ 的 Gauss 函数为

$$G_\sigma(x, y) = G_\sigma(x)G_\sigma(y) = \frac{1}{2\pi\sigma^2} e^{-\frac{x^2+y^2}{2\sigma^2}}$$



Gauss 核的大小与标准差关系 由于一维 Gauss 函数满足 $3\text{-}\sigma$ 原则, 也就是指密度函数在 $|x| < \sigma, 2\sigma, 3\sigma$ 上面积分别占比为 68%, 95%, 99.7%, 一般取 $k = 2\sigma$ 即可, 也就是当卷积核大小为 $(2k+1) \times (2k+1)$ 时, 取 $\sigma = k/2$. Gauss 核也就是 Gauss 函数在 $[-k, k]^2$ 中整数点的差值, 即二维 Gauss 核为 $w_{ij} = G_{k/2}(i-k-1, j-k-1)$, $(1 \leq i, j \leq 2k+1)$, 简记为 G_σ . (注意与 Gauss 函数区分开, 一个是 $(2k+1) \times (2k+1)$ 的矩阵, 另一个是实值函数)

Gauss 模糊 将 Gauss 核作用在图像上即可得到 Gauss 模糊 (Gaussian Blur) 的效果. 设图像为 f , p, q 为像素坐标, f_p 为图像在 p 处的像素值, 卷积核空间为 $S_p = \{p + (i, j) : (i, j) \in [-k, k]^2\}$ (PPT 上简记为 S), 则 Gauss 模糊在 p 处的值有以下两种表示方法:

$$GB[f]_p = \sum_{q \in S_p} G_\sigma(\|p - q\|) f_q = \sum_{i=-k}^k \sum_{j=-k}^k G_\sigma(\|(i, j)\|) f(p_1 + i, p_2 + j)$$

注: 这里 $G_\sigma(\cdot)$ 表示一维 Gauss 函数. 归一化后的 Gauss 滤波器表示为以下形式:

$$H(q) = \frac{1}{W_p} e^{-\frac{\|p-q\|^2}{2\sigma^2}}, \quad W_p = \sum_{q \in S_p} e^{-\frac{\|p-q\|^2}{2\sigma^2}}$$

Gauss 核的性质

1. **二维 Gauss 核的可分离性**: 设 $G_\sigma(x), G_\sigma(x, y)$ 表示一维和二维 Gauss 函数, 定义与上文相同. 设 $2k+1$ 维的一维 Gauss 核为

$$u = (G_\sigma(-k), G_\sigma(-k+1), \dots, G_\sigma(0), \dots, G_\sigma(k-1), G_\sigma(k))^T$$

则二维 Gauss 核 G_σ 满足 $G_\sigma = u * u^T$. 利用 Gauss 核的可分离性, 可以将卷积过程分解为 $G_\sigma * f = (u * u^T) * f = u * (u^T * f)$, 从而将时间复杂度由 $\mathcal{O}(MN(2k+1)^2)$ 变为 $\mathcal{O}(2MN(2k+1))$.

2. **两个二维 Gauss 核卷积仍为 Gauss 核**: 设 $\sigma^2 = \sigma_1^2 + \sigma_2^2$, 则 $(G_{\sigma_1} * G_{\sigma_2})(m, n) = G_\sigma(m, n)$.

Gauss 核具有平滑图像, 起到正则化作用, 在图像处理中非常常用, 下面是三种基于 Gauss 核的滤波算子.

1.3.1 DoG 算子

通过两个不同方差的 Gauss 函数 $G_{\sigma_1}, G_{\sigma_2}$, 不妨令 $\sigma_1 < \sigma_2$, 则称 $G_{\sigma_1} - G_{\sigma_2}$ 为 DoG 算子. DoG 算子是一种差分滤波器, 本质上是将 G_{σ_1} 作用后的图像与 G_{σ_2} 作用后的图像做差得到的结果:

$$G_{\sigma_1} * f - G_{\sigma_2} * f = (G_{\sigma_1} - G_{\sigma_2}) * f$$

1.3.2 锐化滤波器

锐化滤波的结果如下：

$$\begin{aligned} f_{sharp} &= f + \alpha(f - f_{blur}) = (1 + \alpha)I \cdot f - \alpha G_{\sigma} * f \\ &= ((1 + \alpha)I - \alpha G_{\sigma}) * f \end{aligned}$$

则 $(1 + \alpha)I - \alpha G_{\sigma}$ 为锐化滤波器，其中 α 为锐化系数， I 表示全通滤波器， 3×3 的全通滤波器为

$$I_3 = \begin{bmatrix} 0 & 0 & 0 \\ 0 & 1 & 0 \\ 0 & 0 & 0 \end{bmatrix}$$

1.3.3 双边滤波器

Gauss 模糊只考虑了像素坐标距离的关系（空间域，space），双边滤波器在 Gauss 模糊的基础上加入像素值的关系（值域，range），从而能对图像边界处有较好的处理。双边滤波器具有保护边缘的作用，多次重复使用会产生卡通效果，图像变得更加平滑，产生色块。

记图像为 f ， $\mathbf{p}, \mathbf{q}, f_{\mathbf{p}}, S_{\mathbf{p}}, G_{\sigma}$ 的定义和上述 Gauss 模糊处的相同， $\|\cdot\|$ 表示欧氏距离（ ℓ_2 范数）， $W_{\mathbf{p}}$ 为归一化系数，则双边滤波器处理图像 f 后在 \mathbf{p} 处的结果为

$$\begin{aligned} BF[f]_{\mathbf{p}} &= \frac{1}{W_{\mathbf{p}}} \sum_{\mathbf{q} \in S_{\mathbf{p}}} \underbrace{G_{\sigma_s}(\|\mathbf{p} - \mathbf{q}\|)}_{\text{space}} \underbrace{G_{\sigma_r}(|f_{\mathbf{p}} - f_{\mathbf{q}}|)}_{\text{range}} f_{\mathbf{q}} \\ \text{归一化系数: } W_{\mathbf{p}} &= \sum_{\mathbf{q} \in S_{\mathbf{p}}} G_{\sigma_s}(\|\mathbf{p} - \mathbf{q}\|) G_{\sigma_r}(|f_{\mathbf{p}} - f_{\mathbf{q}}|) \\ \mathbf{p} \text{ 处的双边滤波核: } &= \frac{1}{W_{\mathbf{p}}} G_{\sigma_s}(\|\mathbf{p} - \mathbf{q}\|) G_{\sigma_r}(|f_{\mathbf{p}} - f_{\mathbf{q}}|) \end{aligned}$$

$G_{\sigma_s}(\|\mathbf{p} - \mathbf{q}\|)$ 就是方差为 σ_s 的 Gauss 核， $G_{\sigma_r}(|f_{\mathbf{p}} - f_{\mathbf{q}}|)$ 是值域做差后再作用 Gauss 函数得到的核，对于不同的 \mathbf{p} 均需要重新计算 $G_{\sigma_r}(|f_{\mathbf{p}} - f_{\mathbf{q}}|)$ ，而第一部分 Gauss 核无需重算。

将两个核做内积并归一化处理后，得到在 \mathbf{p} 处的双边滤波核，再作用于图像 f 上，即可得到 \mathbf{p} 处的双边滤波结果。

1.4 其他非线性滤波器

均值滤波 (Mean) 设滤波核的大小为 $(2k + 1) \times (2k + 1)$ ，滤波结果 $g(m, n)$ 处的值是由图像以 (m, n) 为中心，周围大小为 $(2k + 1) \times (2k + 1)$ 区域所有值的均值：

$$g(m, n) = \frac{1}{(2k + 1)^2} \sum_{i=-k}^k \sum_{j=-k}^k f(m + i, n + j)$$

表示为滤波器的形式为（ $\mathbf{p}, \mathbf{q}, S_{\mathbf{p}}$ 的含义与上文相同， $|S_{\mathbf{p}}|$ 表示滤波器的大小）

$$H(\mathbf{q}) = \frac{1}{|S_{\mathbf{p}}|}$$

阈值滤波 (Thresholding) 设定滤波阈值为 A ，则滤波结果为 $g(m, n) = \begin{cases} 255, & f(m, n) > A, \\ 0, & \text{否则.} \end{cases}$

整流滤波 (Rectification) 仅保留非负像素, 滤波结果为 $g(m, n) = \max(f(m, n), 0)$. 常用于卷积神经网络中正则化操作.

中值滤波 (Median) 设滤波核大小为 $(2k+1) \times (2k+1)$, 滤波结果 $g(m, n)$ 处的值是由图像中以 (m, n) 为中心, 周围大小为 $(2k+1) \times (2k+1)$ 区域的所有值的中位数, 以 $k=1$ 为例:

$$g(m, n) = \text{中位数} \left(\begin{bmatrix} f(m-1, n-1) & f(m-1, n) & f(m-1, n+1) \\ f(m, n-1) & f(m, n) & f(m, n+1) \\ f(m+1, n-1) & f(m+1, n) & f(m+1, n+1) \end{bmatrix} \right)$$

表示为滤波器的形式为

$$H(\mathbf{q}) = \begin{cases} 1, & f(\mathbf{q}) = \text{median}\{f(\mathbf{q})\}, \\ 0, & \text{否则}. \end{cases}$$

1.5 Fourier 变换

定义 3 (图像的二维 Fourier 变换与逆变换). 设图像 $f \in \mathbb{R}^{M \times N}$, 则

$$\text{Fourier 变换: } \hat{f}(m, n) = \iint_{\mathbb{R}^2} f(x, y) e^{-2\pi i (\frac{mx}{M} + \frac{ny}{N})} dx dy$$

$$\text{Fourier 逆变换: } \check{f}(m, n) = \frac{1}{MN} \iint_{\mathbb{R}^2} f(x, y) e^{2\pi i (\frac{mx}{M} + \frac{ny}{N})} dx dy$$

Fourier 变换也可记为 $\mathcal{F}(f) := \hat{f}$, Fourier 逆变换 $\mathcal{F}^{-1}(f) := \check{f}$.

注: 如果把 $e^{-2\pi i (\frac{mx}{M} + \frac{ny}{N})}$ 视为 x 轴方向频率为 m/M 的正弦波, 与 y 轴方向频率为 n/N 的正弦波叠加形成的二维正弦波, 则 $\hat{f}(m, n)$ 可以视为图像 f 在复合波上的投影, **Fourier 变换是空域 (空间域) 到频域的映射**, 并且 $\hat{f}(m, n)$ 的辐角表示该种正弦波的相位大小, $|\hat{f}(m, n)|$ 表示该种正弦波辐角大小. 高频部分 (m, n 偏大) 存储图像的细节信息, 低频部分 (m, n 偏小) 存储图像的轮廓信息.

Fourier 变换关于卷积的性质

设图像 $f, g \in \mathbb{R}^{M \times N}$, 在两个图像维数相同前提下, 定义图像的**点积 (内积)** $f \cdot g$ 为 $(f \cdot g)(m, n) := f(m, n)g(m, n)$, 即对应元素相乘. 下面定理说明 **Fourier 变换将空域的卷积转化为频域的点积**, **Fourier 逆变换将频域的卷积转化为空域的点积**.

1. 空间域卷积定理: $\widehat{f * g} = \hat{f} \cdot \hat{g}$.
2. 频域卷积定理: $\mathcal{F}^{-1}(\hat{f} * \hat{g}) = a(f \cdot g)$, 其中常数 $a = MN$.

1.6 图像参数化几何变换

1. 平移变换 (自由度为 2)

$$\mathbf{x}' = \mathbf{x} + \mathbf{t} \iff \mathbf{x}' = \begin{bmatrix} 1 & 0 & t_1 \\ 0 & 1 & t_2 \\ 0 & 0 & 1 \end{bmatrix} \begin{bmatrix} x_1 \\ x_2 \\ 1 \end{bmatrix}, \text{ 逆矩阵为 } \begin{bmatrix} 1 & 0 & -t_1 \\ 0 & 1 & -t_2 \\ 0 & 0 & 1 \end{bmatrix}.$$

2. 旋转变换 (自由度为 1)

$$\mathbf{x}' = R_\theta \mathbf{x} \iff \mathbf{x}' = \begin{bmatrix} \cos \theta & -\sin \theta & 0 \\ \sin \theta & \cos \theta & 0 \\ 0 & 0 & 1 \end{bmatrix} \begin{bmatrix} x_1 \\ x_2 \\ 1 \end{bmatrix}, \text{ 逆矩阵为 } \begin{bmatrix} \cos \theta & \sin \theta & 0 \\ -\sin \theta & \cos \theta & 0 \\ 0 & 0 & 1 \end{bmatrix}.$$

3. 欧式变化 (自由度为 3)

$$\mathbf{x}' = [R_\theta | \mathbf{t}] \mathbf{x} \iff \mathbf{x}' = \begin{bmatrix} \cos \theta & -\sin \theta & t_1 \\ \sin \theta & \cos \theta & t_2 \\ 0 & 0 & 1 \end{bmatrix} \begin{bmatrix} x_1 \\ x_2 \\ 1 \end{bmatrix}, \text{ 逆矩阵为 } \begin{bmatrix} \cos \theta & \sin \theta & -t_1 \cos \theta - t_2 \sin \theta \\ -\sin \theta & \cos \theta & t_1 \sin \theta - t_2 \cos \theta \\ 0 & 0 & 1 \end{bmatrix}.$$

4. 相似变换 (自由度为 4)

$$\mathbf{x}' = [R_\theta | \mathbf{t}] \mathbf{x} \iff \mathbf{x}' = \begin{bmatrix} s \cdot \cos \theta & -s \cdot \sin \theta & t_1 \\ s \cdot \sin \theta & s \cdot \cos \theta & t_2 \\ 0 & 0 & 1 \end{bmatrix} \begin{bmatrix} x_1 \\ x_2 \\ 1 \end{bmatrix}, \text{ 逆矩阵为 } \begin{bmatrix} \frac{1}{2s} \cdot \cos \theta & \frac{1}{2s} \cdot \sin \theta & \frac{-t_1 \cos \theta - t_2 \sin \theta}{s} \\ -\frac{1}{2s} \cdot \sin \theta & \frac{1}{2s} \cdot \cos \theta & \frac{t_1 \sin \theta - t_2 \cos \theta}{s} \\ 0 & 0 & 1 \end{bmatrix}.$$

5. 仿射变换 (自由度为 6)

$$\mathbf{x}' = \mathbf{x} + \mathbf{t} \iff \mathbf{x}' = \begin{bmatrix} a_{11} & a_{12} & t_1 \\ a_{21} & a_{22} & t_2 \\ 0 & 0 & 1 \end{bmatrix} \begin{bmatrix} x_1 \\ x_2 \\ 1 \end{bmatrix}.$$

1.7 前向变换与逆向变换

设变换矩阵为 T , 原图像记为 f , 变换后的图像记为 g , 则对于图像中每个像素坐标 \mathbf{x} 满足

$$g(T\mathbf{x}) = f(\mathbf{x}), \quad g(\mathbf{x}) = f(T^{-1}\mathbf{x}).$$

其中, 前者为前向变换 (**forward warping**), 后者为逆向变换 (**inverse warping**).

前向变换中, 由于 \mathbf{x} 的参数为整数, 而 $T\mathbf{x}$ 不一定为整数, 所以填充时会出现空缺部分; 而逆向变换中, 计算 $T^{-1}\mathbf{x}$ 非整数时, 可通过内插算法获得该像素处的近似值, 可以很好解决空缺问题.

1.8 图像内插

注意将图像内插与上采样区分开, 图像内插是一种一般的插值, 可在任意位置处插值, 而上采样一般按照 2 的倍数插值.

内插方法: 设原图像大小为 $M \times N$, 记为 $f(x, y)$, $x \in [1, M], y \in [1, N]$, 考虑二维平面中非整数点 (x^*, y^*) , 一种求解 $f(x^*, y^*)$ 的方法. (也即将 f 延拓到 \mathbb{R}^2 中)

近邻插值: 使用原图中距离 (x^*, y^*) 最近的像素进行代换:

$$(x_0, y_0) = \arg \min_{(x, y) \in [1, M] \times [1, N] \cap \mathbb{N}^2} \|(x, y) - (x^*, y^*)\|_2,$$

其中 $\|\cdot\|_2$ 表示 ℓ_2 范数, 则 $f(x^*, y^*) = f(x_0, y_0)$.

双线性插值: 将 (x^*, y^*) 与周围整数点所围成的面积反比作为整数点对应像素的加权值, 设 $O(x^*, y^*)$ 周围存在四个整数点 $A(x_h, y_h)$, $B(x_h, y_l)$, $C(x_l, y_l)$, $D(x_l, y_h)$, 对应的面积分别为 $S_A = S(O, C)$, $S_B = S(O, D)$, $S_C = S(O, A)$, $S_D = S(O, B)$, 其中 $S(O, A)$ 表示由点 O, A 所围成的面积, 参考右图. 则有

$$f(x^*, y^*) = S_A f(A) + S_B f(B) + S_C f(C) + S_D f(D).$$

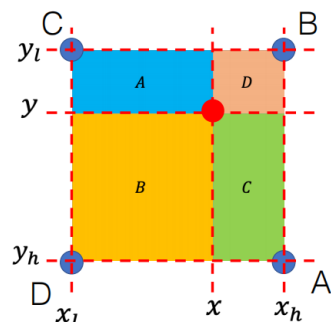


图 1: 双线性插值

1.9 下采样与上采样

1.9.1 下采样 (subsample)

定义 4 (下采样定理, Shannon-Nyquist 定理). 设每隔 p 个像素进行一次采样, 则采样频率为 $1/p$, 图像中像素的最高频率为 f_{max} , 当 $1/p > 2f_{max}$ 时, 采样后的图像保留了原始图像的全部信息.

在图像处理中, 如果采样频率较低, 则会出现混淆的问题, 无法保留图像全部特征. 采样定理告诉我们, 对于给定的采样频率, 可以通过降低图像中的最高频率从而提高采样效果, 也就是对原图像做平滑处理, 最常用的就是 Gauss 模糊.

下采样步骤 先对原图像做 Gauss 模糊, 然后做间距为 p 的等距插值即可获得下采样结果.

Gauss 金字塔 若原图像大小为 $2^k \times 2^k$, 间距为 2 的下采样得到的图像大小为 $2^{k-1} \times 2^{k-1}, \dots, 4 \times 4, 2 \times 2, 1 \times 1$, 将其分别记为 G_0, G_1, \dots, G_k , 其中 G_0 为原图像, $G_i, (i \geq 1)$ 是原图像等距离缩小 2^i 倍的下采样结果, 将 $\{G_i\}$ 称为 **Gauss 金字塔**.

Gauss 金字塔的一个应用是**基于滑动窗口的模板匹配**, 将每次缩放结果 G_i 中用滑动窗口搜索目标模板, 可通过互相关计算相似度, 当相似度超过一定阈值时, 则认为匹配到目标, 然后将匹配到的滑动窗口重新放大 2^i 倍, 则可得到原始图像中匹配的滑动窗口位置, 对应了原始图像中的目标位置.

1.9.2 上采样 (upsample)

上采样分为以下三步:

1. 用 0 填充图像 (若放大倍数为 2, 则在每行的左侧用 0 对图像进行填充, 列也是相同操作)
2. 在填充后的图像上进行 Gauss 模糊.
3. 由于像素值填充了大量的 0, 所以需要対图像亮度进行整体提高.

Laplace 金字塔 记上采样操作为 $\text{expand}(\cdot)$, 原图为 G_0 , n 次得到的下采样结果为 $\{G_1, \dots, G_n\}$, 则 n 层 Laplace 金字塔构造过程为

$$\begin{aligned} L_0 &= G_0 - \text{expand}(G_1), \\ L_1 &= G_1 - \text{expand}(G_2), \\ &\vdots \\ L_n &= G_n \end{aligned}$$

将 $\{L_i\}$ 称为 **Laplace 金字塔**, L_i , ($i < n$) 的计算方式为: 将原图像 G_i 做下采样得到 G_{i+1} , 再与 G_{i+1} 上采样结果 $\text{expand}(G_{i+1})$ 做差, 即可得到 L_i .

用途: 为了存储图像 G_0 , 可以仅存储图像内容更少的 $\{L_i\}$, 从而节约内存, 可通过递归执行上采样获得原始图像:

$$G_0 = L_0 + \text{expand}(L_1 + \text{expand}(L_2 + \text{expand}(\cdots + \text{expand}(L_n))))$$

性质: 当图像很小、距离远时, 主要观察到**低频信息**; 当图像很大、距离近时, 同时能观察到**高频和低频信息**.

2 图像特征提取

总共有三种特征: 边缘特征, 角点特征, 斑点特征.

2.1 边缘检测

图像中边缘出现的位置有以下 6 个:

1. 亮度有巨大改变;
2. 角点、交叉点;
3. 景深的不连续处 (前景与背景深度的不同);
4. 曲面法向量的不连续处 (例如正方体的棱);
5. 物体表面反射率不同 (例如物体表面有不同的颜色);
6. 物体阴影边缘.

2.1.1 图像微分

在图像中, 用差值近似图像微分, 由于存在 x, y 两个方向, 所以也就是求图像像素梯度, 先要求出每个像素点在 x, y 方向上的偏导数, 然后表示为向量的形式:

$$x\text{方向偏导数: } \frac{\partial f}{\partial x}(x, y) \approx f(x+1, y) - f(x, y)$$

$$y\text{方向偏导数: } \frac{\partial f}{\partial y}(x, y) \approx f(x, y+1) - f(x, y)$$

$$\text{图像微分: } \nabla f(m, n) = \left[\frac{\partial f}{\partial x}(m, n), \frac{\partial f}{\partial y}(m, n) \right]$$

则可以计算出每个像素处的幅度 (范数) 和辐角:

$$\|\nabla f\|(m, n) = \sqrt{f_x(m, n)^2 + f_y(m, n)^2}, \quad \theta(m, n) = \arctan\left(\frac{f_y(m, n)}{f_x(m, n)}\right).$$

但图像噪声对直接微分的结果影响非常大, 所以需要先用 Gauss 模糊对图像进行平滑处理.

Gauss 微分核 对 Gauss 核做微分后得到的结果, 相当于先对图像做平滑处理, 再求偏导数:

$$\frac{\partial}{\partial x}(G_\sigma * f) = \left(\frac{\partial}{\partial x}G_\sigma\right) * f$$

各向异性 Gauss 微分核 由于默认的 Gauss 核是各向同性的, 也就是在 x, y 方向上的变化率均相同, 这是因为将二维 Gauss 分布中 σ_1, σ_2 设置为相同; 如果令 $\sigma_1 \gg \sigma_2$, 则表示几乎不对 x 方向进行平滑处理, 仅对 y 方向进行平滑处理. 再对其求偏导数, 得到各向异性 Gauss 微分核.

Sobel 微分核 这是一种各向异性 Gauss 微分核的特例，仅在 y （或者 x ）方向上作平滑处理，在 x （或者 y ）方向上求偏导：

$$S_x = \begin{bmatrix} 1 \\ 2 \\ 1 \end{bmatrix} * \begin{bmatrix} 1 & 0 & -1 \end{bmatrix} = \begin{bmatrix} 1 & 0 & -1 \\ 2 & 0 & -2 \\ 1 & 0 & -1 \end{bmatrix}, S_y = \begin{bmatrix} 1 \\ 0 \\ -1 \end{bmatrix} * \begin{bmatrix} 1 & 2 & 1 \end{bmatrix} = \begin{bmatrix} 1 & 2 & 1 \\ 0 & 0 & 0 \\ -1 & -2 & -1 \end{bmatrix}$$

2.2 Canny 边缘检测

Canny 边缘检测算法共分为以下三步（PPT 上为四步，将第一步分为求偏导和求梯度两步）：

1. **梯度提取**，取方差为 σ 的 Gauss 一阶微分核做卷积，得到幅度图和辐角图。

2. **非极大值像素梯度抑制 (Non-Maximum Suppression, NMS)**，对每个像素考虑其梯度方向上的两个临近点，用**双线性插值**获得两点处的梯度值，然后判断中间点的梯度范数是否大于两端的梯度范数，若大于则保留，反之舍弃（归零）。

具体来讲，设当前像素点为 $\mathbf{q} = (x, y)$ ，幅度图记为 $\|\nabla f\|(x, y)$ ， \mathbf{q} 点处的梯度方向记为 θ ，则考虑沿梯度方向上的两点

$$\mathbf{r} : (x + \cos \theta, y + \sin \theta), \quad \mathbf{p} = (x - \cos \theta, y - \sin \theta)$$

若 $\|\nabla f\|(\mathbf{q}) > \max \left\{ \|\nabla f\|(\mathbf{r}), \|\nabla f\|(\mathbf{p}) \right\}$ ，则保留该点，否则令 $f(\mathbf{q}) = 0$ 。

3. **滞后阈值处理，边缘连接 (Hysteresis thresholding, Boundary)**，考虑对 NMS 结果进一步处理，设定高阈值和低阈值。我们称所有幅度值大于高阈值的点为**高阈值点**，所有幅度值大于低阈值的点为**低阈值点**。每次从高阈值点开始绘制边缘，寻找周围低阈值点进行连接，若当前点附近仍有低阈值点则继续连接，直到连接全部的高阈值点后，得到的就是 Canny 边缘处理结果。

2.3 Harris 角点检测

设图像为 $I(\cdot; \cdot)$ ，考虑一个大小为 $(2k+1) \times (2k+1)$ 中心位于 $\mathbf{x}_0 \in \mathbb{R}^2$ 的滑动窗口 $W_k(\mathbf{x}_0)$ ，任取一个滑动方向 $\mathbf{t} \in \mathbb{R}^2$ ，定义在 \mathbf{t} 方向上的平方误差和 (**Sum up Squared Differences, SSD**) 为

$$E_{\mathbf{x}_0}(\mathbf{t}) = \sum_{\mathbf{x} \in W_k(\mathbf{x}_0)} (I(\mathbf{x} + \mathbf{t}) - I(\mathbf{x}))^2$$

若 \mathbf{x}_0 为角点，则 $\forall \mathbf{t} \in \mathbb{R}^2$ ， $E_{\mathbf{x}_0}(\mathbf{t})$ 都应尽可能大。

记 $\mathbf{t} = (u, v)^T$ ，由 Taylor 公式可知

$$I(\mathbf{x} + \mathbf{t}) = I(\mathbf{x}) + I_x(\mathbf{x})u + I_y(\mathbf{x})v + O(\|\mathbf{t}\|_2^2)$$

于是可对 $E_{\mathbf{x}_0}(\mathbf{t})$ 进行进一步分解

$$\begin{aligned} E_{\mathbf{x}_0}(\mathbf{t}) &\approx \sum_{\mathbf{x} \in W_k(\mathbf{x}_0)} (I(\mathbf{x}) + I_x(\mathbf{x})u + I_y(\mathbf{x})v - I(\mathbf{x}))^2 \\ &= \sum_{\mathbf{x} \in W_k(\mathbf{x}_0)} (I_x(\mathbf{x})u + I_y(\mathbf{x})v)^2. \end{aligned}$$

更一般的, 设图像 I 大小为 $M \times N$, 记全体像素点集为 $D := [1, M] \times [1, N] \cap \mathbb{Z}^2$, 则

$$\begin{aligned} E_{x_0}(\mathbf{t}) &\approx \sum_{\mathbf{x} \in D} w_{x_0}(\mathbf{x}) (I_x(\mathbf{x})u + I_y(\mathbf{x})v)^2 \\ &= \sum_{\mathbf{x} \in D} w_{x_0}(\mathbf{x}) I_x^2(\mathbf{x})u^2 + 2w_{x_0}(\mathbf{x}) I_x(\mathbf{x}) I_y(\mathbf{x})uv + w_{x_0}(\mathbf{x}) I_y^2(\mathbf{x})v^2 \\ &= A(\mathbf{x}_0)u^2 + 2B(\mathbf{x}_0)uv + C(\mathbf{x}_0)v^2. \end{aligned}$$

其中 $w_{x_0}(\mathbf{x}) = \begin{cases} 1, & \mathbf{x} \in W_k(\mathbf{x}_0), \\ 0, & \text{otherwise.} \end{cases}$ 为 $W_k(\mathbf{x}_0)$ 的示性函数, 为使其变化更平滑, 可取 w_{x_0} 为

中心在 \mathbf{x}_0 大小为 $(2k+1) \times (2k+1)$ 的 Gauss 核, 上式中 A, B, C 定义如下, 分别表示将核 w 作用在 $I_x^2, I_x I_y, I_y^2$ 图像上得到的结果

$$A(\mathbf{x}_0) = \sum_{\mathbf{x} \in D} w_{x_0}(\mathbf{x}) I_x^2(\mathbf{x}), \quad B(\mathbf{x}_0) = \sum_{\mathbf{x} \in D} w_{x_0}(\mathbf{x}) I_x(\mathbf{x}) I_y(\mathbf{x}), \quad C(\mathbf{x}_0) = \sum_{\mathbf{x} \in D} w_{x_0}(\mathbf{x}) I_y^2(\mathbf{x}).$$

进一步, 可使用二次型矩阵表出

$$E_{x_0}(\mathbf{t}) = \mathbf{t}^T M_{x_0} \mathbf{t}, \quad \text{其中 } M_{x_0} = \begin{bmatrix} A(\mathbf{x}_0) & B(\mathbf{x}_0) \\ B(\mathbf{x}_0) & C(\mathbf{x}_0) \end{bmatrix}$$

称 M_{x_0} 为图像在 \mathbf{x}_0 处的二阶矩矩阵 (**Second moment matrix**).

假设 M_{x_0} 的秩为 2, 则 M_{x_0} 存在 2 个特征值, 记其中较大者为 λ_{max} , 较小者为 λ_{min} , 对应的特征向量分别为 $\mathbf{x}_{max}, \mathbf{x}_{min}$, 由特征向量定义可知, $M_{x_0} \mathbf{x}_{max} = \lambda_{max} \mathbf{x}_{max}$ 说明窗口 $W_k(\mathbf{x}_0)$ 在沿着 \mathbf{x}_{max} 方向上移动单位长度可使得 $E_{x_0}(\mathbf{t})$ 达到最大值. 下面对 λ 的大小进行分类讨论

1. 当 λ_{max} 较小时, $E_{x_0}(\mathbf{t})$ 沿各个方向变化都较小, 则 \mathbf{x}_0 处于图像内部平滑区域.
2. 当 λ_{max} 较大且 $\lambda_{max} \approx \lambda_{min}$ 时, $E_{x_0}(\mathbf{t})$ 沿各个方向变化都较大, 则 \mathbf{x}_0 是角点.
3. 当 λ_{max} 较大且 $\lambda_{max} \gg \lambda_{min}$ 时, $E_{x_0}(\mathbf{t})$ 仅沿 \mathbf{x}_{max} 方向变化较大, 则 \mathbf{x}_0 是边界点.

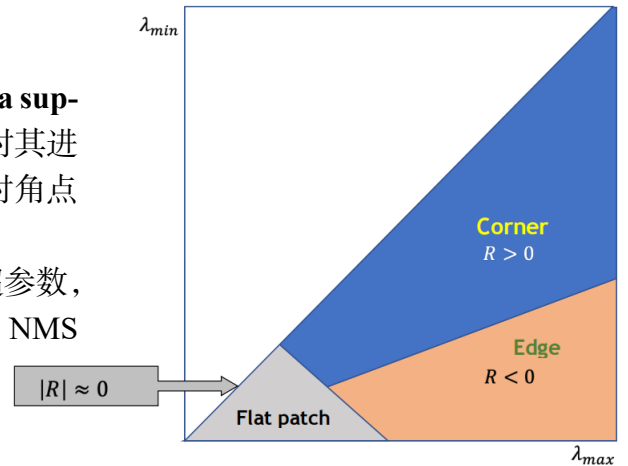
通过引入角点响应函数 (**Corner response function**) 用于判断角点

$$\begin{aligned} R(\mathbf{x}_0) &= \det(M_{x_0}) - \alpha \cdot \text{trace}(M_{x_0})^2 = \lambda_1 \lambda_2 - \alpha (\lambda_1 + \lambda_2)^2 \\ &= A(\mathbf{x}_0)C(\mathbf{x}_0) - B^2(\mathbf{x}_0) - \alpha (A(\mathbf{x}_0) + C(\mathbf{x}_0))^2 \end{aligned}$$

其中 $\alpha \in [0.04, 0.06]$ 为超参数. 当 $R(\mathbf{x}_0)$ 大于设定阈值时, 则判定 \mathbf{x}_0 为角点. 响应函数与特征值关系可参考右图:

最后, 再使用非局部极大值抑制 (**Non-maxima suppression, NMS**), 若 \mathbf{x}_0 是其邻域内的最大值, 则对其进行保留, 否则删去该点. 通过设定邻域大小, 可对角点密度进行调整.

整个 Harris 角点检测算法中, 总共存在 4 个超参数, 分别为窗口大小 k , 响应函数中的 α , 响应阈值和 NMS 邻域大小.



Harris 角点检测的等变性、不变性和特异性

角点检测中存在两个讨论对象：一个是**角点位置**，另一个是**角点检测**（是否角点，取决于特征值、响应函数的变换）。

1. 等变性：**角点位置**的平移等变性、旋转等变性、缩放等变性。

2. 不变性：**角点检测**的平移不变性、旋转不变性，**角点位置和角点检测**对整体光强增加常数的不变性。

3. 特异性：整体光强**按倍数缩放**会导致角点检测失效（例如修改对比度），**缩放图像**也会导致检测失效。

平移图像：由于平移图像只会导致角点位置发生改变，所以角点位置对平移变换具有等变性；特征值是基于微分计算的，所以平移不会对特征值产生影响，由于响应函数取决于特征值，故角点检测是不变的。

旋转图像：由于旋转图像也会导致角点位置发生改变，所以角点位置对平移变换具有等变性；由于图像旋转，相当于检测框进行了旋转，所以只会对特征向量的方向进行旋转，特征值保持不变，由于响应函数取决于特征值，故角点检测是不变的。

光强缩放导致角点检测失效的原因：设图像为 I ，光强变换后为 $I' = aI + b$ ，将全部像素值缩放 a 倍，增加常数 b ，则偏导数会变为 $I'_x = aI_x$ ， $I'_y = aI_y$ ，二阶矩阵 $M' = a^2M$ ，则特征值变化为 $\lambda'_i = a^2\lambda_i$ ，响应函数变化为 $R' = a^2R$ ，由于阈值与之前相同，如果 $a < 1$ ，则原来可检测到的角点，可能因为响应值降低，导致无法检测到，或者 $a > 1$ ，导致检测到很多错误角点，所以按倍数缩放光强会导致角点检测错误。

缩放导致角点检测失效的原因：将图片放大，而检测窗口大小没有增大，由于所有的角点周围的边都被放大，角点框对应的变化幅度降低，导致**将角点识别为边**，无法检测出角点。

解决图像缩放失效的方案：本质是无法确定图像最适合的检测窗口大小，所以尝试各种不同的检测窗口大小，在人工标定的角点处进行检测，选取响应值最高的窗口大小。

2.4 斑点特征

斑点特征 (blob) 是圆圈形状的特征区域，可以通过 **Laplacian 算子: LoG(Laplacian of Gaussian)** 核或者 **DoG** 核可以找到。LoG 核为

$$\nabla^2 G_\sigma = \frac{\partial^2 G_\sigma}{\partial x^2} + \frac{\partial^2 G_\sigma}{\partial y^2}$$

LoG 核的效果类似于将 DoG 核取相反数，将标准差大的 Gauss 核与标准差小的 Gauss 核做差得到。

通过对图像作用不同的标准差 σ 大小，取卷积后图像中的**局部极大值或局部极小值**作为斑点圆心 (x, y) ，斑点半径 r 与 σ 正相关，一般取为 $\sqrt{3}\sigma$ （可通过求 Laplacian 算子的极大值点得到）。可以将一个斑点记为 (x, y, r) ，作为图像的特征区域。

特征尺度：特征区域的大小，可以用斑点半径大小来衡量。

2.5 特征描述子

将图像中的**关键点**（如角点）或**区域**（如边缘、斑点）转换为对应的**特征信息**，对应的关键点的特征信息称为**特征描述子 (Feature descriptor)**，一般为向量形式，特征描述子应该具有以下两个性质：

- **不变性 (Invariance)**: 图像变换后, 对应关键点的特征描述子之间的距离变换很小. (此处的距离一般指欧氏距离或互相关大小)
- **判别性 (Discriminability)**: 每个关键点的特征描述子应具有较高的唯一性. (与其他关键点的特征描述子距离较远)

2.5.1 相似性衡量

设描述子向量为 \mathbf{x}, \mathbf{y} , 则对 \mathbf{x}, \mathbf{y} 有如下两种常用的衡量方式:

1. **SSD (欧氏距离, Sum up Squared Different)**: $d(\mathbf{x}, \mathbf{y}) = \|\mathbf{x} - \mathbf{y}\|_2^2$;
2. **NCC (归一化互相关, Normalized Cross Correlation)**: 可将归一化分为以下两步

(a) 减去均值: $\mathbf{x}' = \mathbf{x} - \text{mean}(\mathbf{x})$; ($\text{mean}(\mathbf{x})$ 表示取向量 \mathbf{x} 中每个元素的均值)

(b) 单位化: $\mathbf{x}'' = \frac{\mathbf{x}'}{\|\mathbf{x}'\|_2}$

则 $d(\mathbf{x}, \mathbf{y}) = \mathbf{x} \cdot \mathbf{y}$. (向量的点积就是互相关)

2.5.2 常用特征描述子

(由于在考试内容中未提及, 仅列出概述)

1. **MOPS (多尺度定向窗口描述子, Multiscale Oriented PatchS descriptor)**: 以角点作为关键点, 采用固定窗口大小搜索角点, 并使窗口方向与角点的最大特征值对应的特征向量保持一致, 对不同尺度大小的图片得到多个窗口. 由于每个角点对应一个窗口, 所以窗口内的信息就是该角点对应的描述子.

缺点: 由于角点检测受光强影响, 所以无法检测不同光照环境下的物体.

2. **SIFT (尺度不变特征转换, Scale Invariant Feature Transform)**: 以斑点作为关键区域, 用边的特征构造描述子. 采用 DoG 检测特征尺度, 将每个斑点划分为网格状, 对每个网格统计全部像素点的梯度直方图 (将梯度离散化), 确定网格中主要梯度方向, 最后将梯度主要梯度方向, 网格化梯度信息作为对应斑点的描述子.

优点: 由于按照梯度直方图进行划分, 所以对于微小形变, 描述子在梯度方向上具有不变性; 又由于按照网格进行划分, 对于微小形变, 描述子在空间上也具有不变性.

2.5.3 图像对齐

对于两幅图像 f, g , 假设 g 是 f 通过形变 T 得到的, 即 $Tf = g$, 需要反向求出形变矩阵 T 的具体参数值:

1. 检测图像关键点 (区域);
2. 计算每个关键点 (区域) 的特征描述子;
3. 选择图 f 中的特征描述子与图 g 中每个特征描述子进行比较, 选择最相似的一对;
4. 对于图 f 中每个特征描述子重复上述步骤 3;
5. 对最优点对集合, 用最小二乘法求解形变矩阵 T .

其中变换矩阵的参数形式有以下两种:

1. 仿射矩阵 (Affine, 二维), 总计 6 个参数, 表示为如下形式:

$$T = \begin{bmatrix} a_{11} & a_{12} & a_{13} \\ a_{21} & a_{22} & a_{23} \\ 0 & 0 & 1 \end{bmatrix}$$

2. 单应性矩阵 (Homography, 三维), 总计 8 个参数, 表示为如下形式:

$$H = \begin{bmatrix} h_{11} & h_{12} & h_{13} \\ h_{21} & h_{22} & h_{23} \\ h_{31} & h_{32} & 1 \end{bmatrix}$$

构造求解单应性矩阵的参数方程 设一个点对为 $\mathbf{x} = (x, y)$ 和 $\mathbf{x}'' = (x'', y'')$, 则

$$\begin{bmatrix} h_{11} & h_{12} & h_{13} \\ h_{21} & h_{22} & h_{23} \\ h_{31} & h_{32} & 1 \end{bmatrix} \begin{bmatrix} x \\ y \\ 1 \end{bmatrix} = \begin{bmatrix} x' \\ y' \\ z' \end{bmatrix} \quad \frac{1}{z'} \begin{bmatrix} x' \\ y' \\ z' \end{bmatrix} = \begin{bmatrix} x'' \\ y'' \\ 1 \end{bmatrix}$$

用矩阵表示为 $\mathbf{x}' = H\mathbf{x}$, $\mathbf{x}'' = \frac{1}{z'}\mathbf{x}'$, 则对于 H 中的参数应有如下方程满足:

$$\begin{cases} x'' = \frac{h_{11}x + h_{12}y + h_{13}}{h_{31}x + h_{32}y + 1}, \\ y'' = \frac{h_{21}x + h_{22}y + h_{23}}{h_{31}x + h_{32}y + 1}, \end{cases} \Rightarrow \begin{cases} h_{11}x + h_{12}y + h_{13} - x''h_{31}x - x''h_{32}y - x'' = 0, \\ h_{21}x + h_{22}y + h_{23} - y''h_{31}x - y''h_{32}y - y'' = 0. \end{cases}$$

描述为矩阵的形式就是 (下面虚线部分表示其他点对的数据)

$$\begin{bmatrix} x & y & 1 & 0 & 0 & 0 & -x''x & -x''y & -x'' \\ 0 & 0 & 0 & x & y & 1 & -y''x & -y''y & -y'' \\ \vdots & \vdots & \vdots & \vdots & \vdots & \vdots & \vdots & \vdots & \vdots \end{bmatrix} \begin{bmatrix} h_{11} \\ h_{12} \\ h_{13} \\ h_{21} \\ h_{22} \\ h_{23} \\ h_{31} \\ h_{32} \\ 1 \end{bmatrix} = \begin{bmatrix} 0 \\ 0 \\ \vdots \end{bmatrix}$$

由该方程可以发现, 一个点对可以确定 2 个方程, 总共有 8 个待定参数, 所以至少需要 4 个点对才能确定单应性矩阵 H . 当点对数目超过 4 个时, 可以使用最小二乘法求解参数.

2.5.4 RANSAC 算法

在上述图像对齐的第 5 步中的最优点对集合中, 由于噪声干扰, 有可能存在异常值点, 通过 RANSAC 算法可以排除掉这些异常值点.

以二维点对集合 S 为例, 设 $n = 2$ 表示随机选取点的个数, 设定可容许范围大小为 ε , 假设集合 S 中正常值的占比为 w , 迭代算法 k 次, 每次迭代具体操作为:

1. 从点集合 S 中随机选取 2 个点, 并由这两个点构成直线 l . (高维空间中则是超平面)
2. 将集合 S 中到 l 的距离不超过 ε 的点称为内点 (inlier point), 否则称为外点 (outlier point).
3. 若当前内点数目大于之前迭代的最大内点数目, 则将当前的内点集合替换之前的最优内点集合.
4. 重复步骤 1 到 3, 总计 k 次.

下面用概率的方式, 利用假设的正常值占比 w , 可以推导 k 适合的取值大小:

- 随机选的点中全是正常值的概率为 w^n ;
- 随机选的点中至少有一个是异常值的概率为 $1 - w^n$;
- 进行 k 次迭代, 每次选中的点中都至少有一个异常值的概率为 $(1 - w^n)^k$;
- 进行 k 次迭代, 存在一次选中的点中全为正常值的概率为 $p = 1 - (1 - w^n)^k$.

于是我们取定 $p = 0.99$, 也就是说由 99% 的把握认为, RANSAC 算法可以取到至少 n 个正常点. 于是可以计算出不同 w 值和 n 下的迭代次数 k 至少取多大 (列为异常值占比 $1 - w$):

Sample size n	Proportion of outliers						
	5%	10%	20%	25%	30%	40%	50%
2	2	3	5	6	7	11	17
3	3	4	7	9	11	19	35
4	3	5	9	13	17	34	72
5	4	6	12	17	26	57	146
6	4	7	16	24	37	97	293
7	4	8	20	33	54	163	588
8	5	9	26	44	78	272	1177

迭代 RANSAC(Iteratial RANSAC) 在 RANSAC 得到的最优内点集 D 基础上进一步优化内点集:

1. 用最小二乘法求解通过当前内点集 D 的超平面.
2. 根据超平面重新寻找内点集 D' .
3. 若 $D \neq D'$, 则 $D \leftarrow D'$, 回到第一步; 否则退出迭代, 返回最后得到的内点集 D .

估计单应性矩阵 在图像对齐得到的最优点对集合 S 基础上, 求解单应性矩阵 H :

1. 随机选取 4 个点对; (求解 H 所需的最少点对数目)
2. 计算单应性矩阵 H ; (列出参数方程, 最小二乘法求解)
3. 当 $\|\mathbf{x}_i - H\mathbf{x}'_i\|_2^2 < \varepsilon$, ($\mathbf{x} \in S$) 时, 认为 \mathbf{x} 是内点;
4. 重复步骤 1 到 3, 记录内点数最多的内点集合;
5. 使用迭代 RANSAC 优化后的内点集, 求单应性矩阵 H .

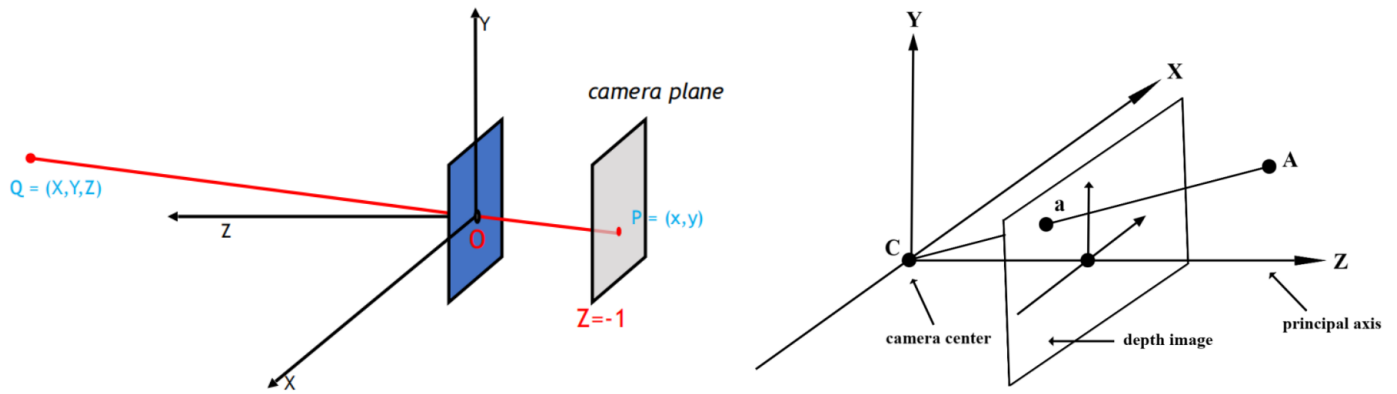
3 视觉几何

3.1 相机成像

3.1.1 针孔相机模型

针孔相机模型也称单点透视模型, 将相机的入射瞳孔视为一个小孔, 光线只有通过小孔打在相机底片上才能成像, 如下图所示. 假设空间中物体位于 $Q(X, Y, Z)$, 将相机入射瞳孔视为原点 O , 相机底片位于 $z = -1$, 则像点为 $Q'(-\frac{X}{Z}, -\frac{Y}{Z}, -1)$, 由于小孔成像是颠倒后的图像, 所系调整后的投影点为 $P(\frac{X}{Z}, \frac{Y}{Z})$, 将 $(\frac{X}{Z}, \frac{Y}{Z}, 1)$ 称为 (X, Y, Z) 的**齐次坐标**.

针孔相机模型有以下两种理解方式, **左图**中投影平面为 $Z = -1$, 则还需将成像结果颠倒, 与真实相机、视网膜成像原理相同; **右图**中成像平面为 $Z = 1$, 无需颠倒结果, 简化建模; 将投影到 $Z = 1$ 上的点称为对应空间点的**齐次坐标**, 也称为像点、投影点, $Z = 1$ 常称为成像平面, 全体投影点构成**射影空间**. 将空间中的 Q 转化为投影点 P 的过程称为**透视投影**.



定义 5 (射影空间, 齐次坐标). 通过向量空间 V 的原点的直线集合称为射影空间.

在 \mathbb{R}^3 中射影空间可用 \mathbb{R}^2 射影平面表示. 由于三维中通过原点的直线集合可以表示为 $\{\lambda(x, y, 1) : \lambda \in \mathbb{R}\}$, 所以可以用二维点 $(x, y) \rightarrow (x, y, 1)$ 来表示该直线, 故一个平面上的二维点集合可以表示整个三维射影空间.

类似地, n 维射影空间为 $n - 1$ 维射影平面, \mathbb{R}^n 中欧式坐标为 (x_1, \dots, x_n) 的**齐次坐标 (homogenous coordinates)** 为 $(\frac{x_1}{x_n}, \dots, \frac{x_{n-1}}{x_n}, 1)$, 在射影平面 \mathbb{R}^{n-1} 中表示为 $(\frac{x_1}{x_n}, \dots, \frac{x_{n-1}}{x_n})$.

由于所有位于同一条投影直线 (与相机瞳孔相交的“视线”) 上的点被投影到图像上的一点, 透视投影中成像平面上的全部点构成射影空间, 空间向量为 \mathbb{R}^3 , 相机入射瞳孔位于原点, 所以透视模型中成像平面就是射影平面, 透视投影过程就是将三维坐标通过齐次坐标转化为二维坐标的过程.

三维几何变换 三维几何变换十分类似于二维图像参数几何变换1.6, 将低维向量 (x, y, z) 升维到齐次坐标 $(x, y, z, 1)$, 于是可以通过齐次坐标完成矩阵的平移操作, 便于表示. 二维几何变换一般形式如下左式, 三维几何变换一般形式为右式:

$$T_2 = \begin{bmatrix} M_2 & t_2 \\ \mathbf{0}^T & 1 \end{bmatrix}, \quad T_3 = \begin{bmatrix} M_3 & t_3 \\ \mathbf{0}^T & 1 \end{bmatrix}$$

其中 $M_k \in \mathbb{R}^{k \times k}$, $t_k \in \mathbb{R}^k$. 类似二维, t_3 是平移向量, M_3 用于缩放和旋转.

3.1.2 透视变换

将三维物体向二维图像的转换且满足一定的几何投影关系, 称为**透视关系**.

透视变换是指对三维物体进行空间变换时, 使结果满足透视关系的变换. 通常将针孔相机成像过程称为透视变换, 具体过程请见下文坐标系系统.

透视关系 (透视变换的特点)

1. **近大远小**: 设物体的两端空间坐标为 $(X, Y, Z), (X, Y + h, Z)$, 则对应的像点为 $(\frac{X}{Z}, \frac{Y}{Z}), (\frac{X}{Z}, \frac{Y+h}{Z})$, 则成像中物体的高度为 $\frac{Y+h}{Z} - \frac{Y}{Z} = \frac{h}{Z}$, 当 Z 增大时, 物体变小, 反之变大, 所以呈现出近大远小的特点.

2. **平行线交于一点 (消失点)**: 设空间中两条平行线为 $Q(\lambda) = A + \lambda D, R(\lambda) = B + \lambda D$,

则两条线投影后为

$$q(\lambda) = \left(\frac{A_x + \lambda D_x}{A_z + \lambda D_z}, \frac{A_y + \lambda D_y}{A_z + \lambda D_z} \right) \rightarrow \left(\frac{D_x}{D_z}, \frac{D_y}{D_z} \right), \quad (\lambda \rightarrow \infty),$$

$$r(\lambda) = \left(\frac{B_x + \lambda D_x}{B_z + \lambda D_z}, \frac{B_y + \lambda D_y}{B_z + \lambda D_z} \right) \rightarrow \left(\frac{D_x}{D_z}, \frac{D_y}{D_z} \right), \quad (\lambda \rightarrow \infty).$$

当 $D_z \neq 0$ 时, 图像中平行线在无限延长后会在 $(\frac{D_x}{D_z}, \frac{D_y}{D_z})$ 处相交, 将该点称为**消失点**.

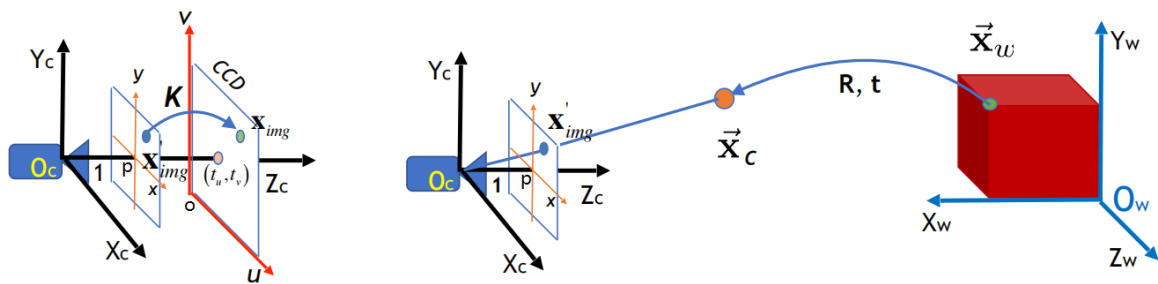
当 $D_z = 0$ 时, 图像中平行线不会相交, 也就是平行于成像平面的平行线, 消失点在 (∞, ∞) 处 (例如照片中的两个电线杆无限延长后仍然不会相交)。

3. **平面消失于一条线 (消失线)**: 设空间中的平面为 $N_x X + N_y Y + N_z Z = d \Rightarrow N_x \frac{X}{Z} + N_y \frac{Y}{Z} + N_z = \frac{d}{Z}$, 则成像平面中为一条和 Z 相关的直线 $N_x x + N_y y + N_z = \frac{d}{Z}$, 令 $Z \rightarrow \infty$, 则 $N_x x + N_y y + N_z = 0$, 称之为**消失线**. 并且对于空间中平行的平面 (改变 d , 不改变法向量 \mathbf{N}), 消失线相同, 说明平行平面会消失于同一消失线处.

当 $N_x = N_y = 0$ 时, 平面扩张到无限远处, 所以没有消失线.

3.2 相机标定

3.2.1 坐标系系统



1. **世界坐标系**: 三维空间中建立的基准坐标系, 用于标记空间点和相机位置, 如上图中坐标系 $O_w-X_wY_wZ_w$ 所示.

2. **相机坐标系**: 以相机中心 O_c 作为原点, 从 O_c 出发垂直于成像平面的射线作为主轴 Z_c , 从 O_c 出发与像平面水平平行作为 X_c 轴, 从 O_c 出发与像平面平行且铅垂直作为 Y_c 轴, 如上图中坐标系 $O_c-X_cY_cZ_c$ 所示.

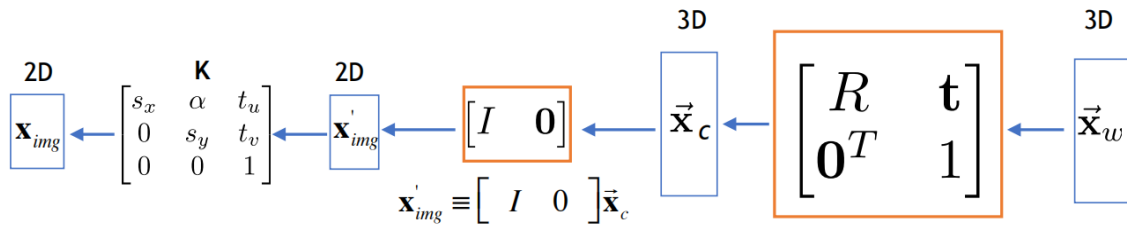
3. **成像平面坐标系 (齐次化坐标系, 规范化坐标系)**: 成像平面为相机坐标系中 $Z_c = 1$ 的平面, 记成像平面与 Z_c 的交点为原点 p , 以像平面水平线和铅垂线分别为 x 轴与 y 轴, 上图中坐标系 $p-xy$ 所示.

4. **图像坐标系**: 原点 o 位于图像的左下角, 平行于 x 轴作为 u 轴, 平行于 y 轴作为 v 轴, 上图中坐标系 $o-uv$ 所示.

设三维坐标 $\mathbf{x}(X, Y, Z)$, 则其对应的齐次坐标为四维坐标 $\mathbf{x}'(X, Y, Z, 1)$, 升维以后的齐次坐标能够通过矩阵完成平移操作, 便于表示. 以下坐标定义均为齐次坐标.

我们记三维空间中物体的世界坐标为 \mathbf{x}_w , 相机坐标为 \mathbf{x}_c (单位: m 或 mm), 成像平面坐标为 \mathbf{x}'_{img} , 图像坐标为 \mathbf{x}_{img} (单位: 像素).

则四个坐标系的转换关系如下图所示



上图变换主要包含三个矩阵：

1. **外参矩阵**： 4×4 矩阵，包括 3×3 的旋转矩阵 R 以及一个 3×1 的平移向量 t ，将世界坐标系转化为相机坐标系，该矩阵会随着物体或相机的移动而发生变化。

2. **投影矩阵**： 3×4 矩阵，取前三维分量，然后转化为齐次坐标，转化符号记为 \equiv 。注意，该过程会产生尺度因子 λ ，即缩放比例。如下式所示

$$[I \ 0] \mathbf{x}_c = \begin{bmatrix} 1 & 0 & 0 & 0 \\ 0 & 1 & 0 & 0 \\ 0 & 0 & 1 & 0 \end{bmatrix} \begin{bmatrix} X_c \\ Y_c \\ Z_c \\ 1 \end{bmatrix} = \begin{bmatrix} X_c & Y_c & Z_c \end{bmatrix} \equiv \begin{bmatrix} X_c/Z_c \\ Y_c/Z_c \\ 1 \end{bmatrix} = \mathbf{x}'_{img}$$

其中 $[I \ 0] \mathbf{x}_c = \lambda \mathbf{x}'_{img}$ ， $\lambda = 1/Z_c$ 。该变换过程就是**透视投影**。

3. **内参矩阵 K** ： 3×3 矩阵，将像素从成像坐标系转化到图像坐标系中，由相机的自有特性决定，不随外部物体变化而变化。其具体表示如下

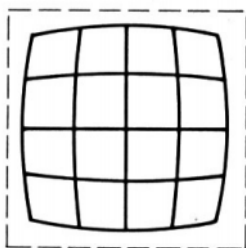
$$K = \begin{bmatrix} f_x & \alpha & t_u \\ 0 & f_y & t_v \\ 0 & 0 & 1 \end{bmatrix}$$

其中 (t_u, t_v) 表示图像坐标系原点在成像坐标系中所处的位置。由于需要从单位 m 或 mm 转化为像素，所以还需要 f_x, f_y 分别表示沿 x 与 y 轴的缩放比例（相机焦距），由于 $o-uv$ 不一定正交，所以还存在倾斜因子 α 。

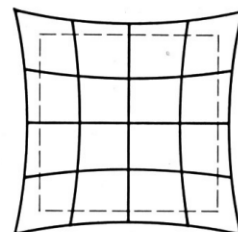
3.3 相机径向畸变与切向畸变的特点及矫正方法

在实际应用中，由于光学透镜不是完美的，通过透镜边缘的光线会发生偏转，导致偏离成像位置，发生扭曲，称为光学畸变。光学畸变主要分为两种：

1. **径向畸变**：主要由透镜问题产生，是一种非线性扭曲，畸变程度取决于与主点的距离，光线距离透镜中心越远，畸变效果更为严重。有枕形畸变和桶形畸变两种。



(a) 桶形畸变



(b) 枕形畸变

2. 在相机安装过程中，光轴与成像平面无法完成平行，导致切向畸变。

两种畸变可用如下模型表示：

$$\begin{cases} x_d - x_c = \overbrace{(x_u - x_c)(1 + k_1 r^2 + k_2 r^4 + \cdots)}^{\text{径向畸变}} + \overbrace{[p_1(r^2 + 2(x_u - x_c)^2) + 2p_2(x_u - x_c)(y_u - y_c)](1 + p_3 r^2 + \cdots)}^{\text{切向畸变}} \\ y_d - y_c = \overbrace{(y_u - y_c)(1 + k_1 r^2 + k_2 r^4 + \cdots)}^{\text{径向畸变}} + \overbrace{[p_2(r^2 + 2(y_u - y_c)^2) + 2p_1(x_u - x_c)(y_u - y_c)](1 + p_3 r^2 + \cdots)}^{\text{切向畸变}} \end{cases}$$

(下述坐标均在成像坐标系中) 其中 (x_u, y_u) 表示理想像素点坐标, (x_d, y_d) 表示畸变图像点坐标, (x_c, y_c) 表示畸变中心, k_n 为镜像畸变系数, p_n 为切向畸变系数, $r^2 = (x_u - x_c)^2 + (y_u - y_c)^2$.

令 $(x_c, y_c) = (0, 0)$, 略去部分高阶项, 可得简化版畸变模型

$$\begin{cases} x_d = x_u(1 + k_1 r^2 + k_2 r^4) + p_1(r^2 + 2x_u^2) + 2p_2 x_u y_u \\ y_d = y_u(1 + k_1 r^2 + k_2 r^4) + p_2(r^2 + 2y_u^2) + 2p_1 x_u y_u \end{cases} \quad (3.1)$$

通过对畸变参数 k_1, k_2, p_1, p_2 进行求解后, 反解求得理想像素点坐标 (x_u, y_u) .

3.3.1 张氏标定法

由于世界坐标系可以自由设定, 我们不妨取三维平面中的黑白棋盘作为 xOy 平面, 则棋盘上的点均有 $Z_w = 0$, 由相机成像原理可知

$$x_{img} = \begin{bmatrix} u \\ v \\ 1 \end{bmatrix} \equiv K[R \quad \mathbf{t}]x_w = K[\mathbf{r}_1 \quad \mathbf{r}_2 \quad \mathbf{r}_3 \quad \mathbf{t}] \begin{bmatrix} X_w \\ Y_w \\ 0 \\ 1 \end{bmatrix} = K[\mathbf{r}_1 \quad \mathbf{r}_2 \quad \mathbf{t}] \begin{bmatrix} X_w \\ Y_w \\ 1 \end{bmatrix} = H \begin{bmatrix} X_w \\ Y_w \\ 1 \end{bmatrix}$$

其中 H 矩阵称为棋盘平面与图像平面之间的单应性 (Homography) 变换矩阵, 由于尺度因子的省略, H 矩阵对应了相机平面到全体同一偏转角度棋盘平面的一个同态映射.

通过大量的像素坐标以及对应的棋盘格坐标, 可建立多个关于 H 的方程组, H 为 3×3 矩阵, 但由于存在一个尺度因子, 所以共有 8 个待定参数. 一组对应坐标可以得到两个方程 (请见图像对齐 2.5.3), 所以至少 4 组对应坐标, 更多的对应坐标可以通过最小二乘法估计得到 H 矩阵. 下面通过 H 矩阵分别求解内参矩阵 K , 外参矩阵以及径向畸变估计.

估计相机内参矩阵

$$H = [\mathbf{h}_1 \quad \mathbf{h}_2 \quad \mathbf{h}_3] = \lambda K[\mathbf{r}_1 \quad \mathbf{r}_2 \quad \mathbf{t}] \Rightarrow \begin{cases} \mathbf{r}_1 = \frac{1}{\lambda} K^{-1} \mathbf{h}_1, \\ \mathbf{r}_2 = \frac{1}{\lambda} K^{-1} \mathbf{h}_2. \end{cases} \quad (3.2)$$

由于 $\mathbf{r}_1 \perp \mathbf{r}_2$, $\|\mathbf{r}_1\| = \|\mathbf{r}_2\|$, 于是

$$\begin{cases} \mathbf{h}_1^T (K^{-1})^T K^{-1} \mathbf{h}_2 = 0, \\ \mathbf{h}_1^T (K^{-1})^T K^{-1} \mathbf{h}_1 = \mathbf{h}_2^T (K^{-1})^T K^{-1} \mathbf{h}_2, \end{cases} \quad (3.3)$$

令

$$B = (K^{-1})^T K^{-1} = \begin{bmatrix} B_{11} & B_{12} & B_{13} \\ B_{12} & B_{22} & B_{23} \\ B_{13} & B_{23} & B_{33} \end{bmatrix}$$

由于 B 矩阵是对称阵, 所以只需确定下三角部分 6 个参数, 令

$$\mathbf{b} = [B_{11} \ B_{12} \ B_{22} \ B_{13} \ B_{23} \ B_{33}]^T$$

则上述方程 3.3 可表示为方程 $\begin{cases} \mathbf{v}_{12}^T \mathbf{b} = 0, \\ [\mathbf{v}_{11}^T - \mathbf{v}_{22}^T] \mathbf{b} = 0. \end{cases}$, 其中 \mathbf{v}_{ij} 由 H 矩阵确定, 具体形式请见知乎文章¹. 由于每种不同角度的棋盘图像可以确定不同的 H 矩阵, 从而确定 \mathbf{v}_{ij} , 于是每张不同角度的棋盘图像可以确定两个关于 \mathbf{b} 的方程, 总共有 6 个待定参数, 所以需要至少 3 张不同角度的棋盘才能唯一确定内参矩阵.

3.3.2 估计相机外参矩阵

有了内参矩阵 K 以后, 我们通过式 3.2 可知

$$\lambda[\mathbf{r}_1 \ \mathbf{r}_2 \ \mathbf{t}] = K^{-1}[\mathbf{h}_1 \ \mathbf{h}_2 \ \mathbf{h}_3]$$

则

$$\begin{cases} \lambda = \|K^{-1}\mathbf{h}_1\|_2 = \|K^{-1}\mathbf{h}_2\|_2, \\ \mathbf{t} = K^{-1}\mathbf{h}_3/\lambda, \\ \mathbf{r}_1 = K^{-1}\mathbf{h}_1/\lambda, \\ \mathbf{r}_2 = K^{-1}\mathbf{h}_2/\lambda, \\ \mathbf{r}_3 = \mathbf{r}_1 \times \mathbf{r}_2. \end{cases}$$

其中 $\|\cdot\|_2$ 为 ℓ_2 范数 (欧式范数), 于是外参矩阵为 $[R \ \mathbf{t}] = [\mathbf{r}_1 \ \mathbf{r}_2 \ \mathbf{r}_3 \ \mathbf{t}]$.

在实际应用中, 由于数据中存在噪音, R 矩阵不一定完全满足旋转矩阵的性质, 所以通常使用奇异值分解求解 R .

3.3.3 最大似然估计畸变参数

在实际标定过程中, 一般存在大量标定图片同时对参数进行估计, 这时可以使用最大似然估计对上述算法进行优化. 假设有 n 张标定图片, 每张图片中都有 m 个棋盘格角点, 且棋盘格大小一致, 棋盘角点相对位置相同. 利用平方损失函数, 构造最小化风险函数如下

$$\min_{K, \mathbf{k}, R, \mathbf{t}, \lambda} \frac{1}{n} \sum_{i=1}^n \sum_{j=1}^m \|x_{ij} - x'(K, \mathbf{k}, R_i, \mathbf{t}_i, \lambda_i, X_j)\|^2$$

其中 K 为内参矩阵, \mathbf{k} 为径向畸变参数, $[R_i \ \mathbf{t}_i]$ 为第 i 张图像对应的外参矩阵, λ_i 为第 i 张图像对应的尺度因子, 第 i 张图像中与棋盘中第 j 个角点坐标 X_j 对应的图像坐标为 x_{ij} , $x'(\cdot)$ 为根据棋盘角点坐标 X_j 以及由该图像对应的外参数矩阵 $[R_i \ \mathbf{t}_i]$ 、尺度因子 λ_i 及内参矩阵和径向畸变, 预测得到的图像像素坐标.

3.4 双目立体视觉

3.4.1 三角测量

假设有两个内参已知的相机, 从两个不同角度拍摄同一物体, 物体上的某点 $\mathbf{x}_w(X, Y, Z)$, 在两个相机拍摄的图像上对应坐标分别为 $\mathbf{x}^{(1)}(x_1, y_1), \mathbf{x}^{(2)}(x_2, y_2)$, 则 $\begin{cases} \mathbf{x}^{(1)} \equiv P^{(1)}\mathbf{x}_w \\ \mathbf{x}^{(2)} \equiv P^{(2)}\mathbf{x}_w \end{cases}$.

¹<https://zhuanlan.zhihu.com/p/136827980>

假设 $P^{(1)}, P^{(2)}$ 已知, 求世界坐标 \mathbf{x}_w , 用最小二乘法估计世界坐标 \mathbf{x}_w , 最优化问题如下所示

$$\hat{\mathbf{x}}_w = \arg \min_{\mathbf{x}_w} \sum_{k=1}^2 \|\mathbf{x}^{(k)} - P^{(k)} \mathbf{x}_w\|_2^2$$

$$\text{其中 } \|\mathbf{x}^{(k)} - P^{(k)} \mathbf{x}_w\|_2^2 \equiv \left[x - \frac{P_{11}X + P_{12}Y + P_{13}Z + P_{14}}{P_{31}X + P_{32}Y + P_{33}Z + P_{34}} \right]^2 + \left[y - \frac{P_{21}X + P_{22}Y + P_{23}Z + P_{24}}{P_{31}X + P_{32}Y + P_{33}Z + P_{34}} \right]^2$$

上式右边 x, y, P 省略了下标, 可以表示 $x_1, y_1, P^{(1)}$ 或者 $x_2, y_2, P^{(2)}$. 称 $\|\mathbf{x}^{(k)} - P^{(k)} \mathbf{x}_w\|_2^2$ 为**重建误差 (Reprojection error)**. 推导重建误差的方法就是将世界坐标 \mathbf{x}_w 通过 $P^{(k)}$ 转化为齐次坐标, 删去第三维分量后, 再求与 \mathbf{x} 的欧氏距离平方后的结果.

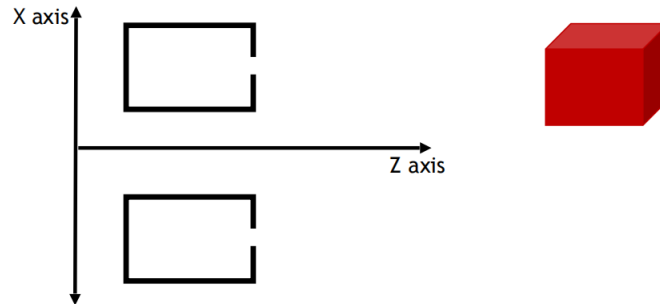
3.5 立体重建 (3D 重建)

立体重建 (Stereo reconstruction, 3D reconstruction) 指根据多张不同位置相机的拍摄同一物体的图像, 获得该物体的世界坐标.

单目相机也就是相机标定所用的, 只需一个相机和标定的点对, 可以求出相机的内参与外参, 但是无法获得物体相对相机的距离, 而通过已知内参的双目相机, 可以求出物体到相机的距离, 从而求出物体的世界坐标, 进行立体重建.

3.5.1 双目相机

双目相机 (矫正相机, Rectified cameras): 沿 x 轴方向彼此平行、主轴方向且内参基本相同的两个相机. 若相机内参不同, 则需进行**相机校准**, 使得两个相机的缩放比例上相同. 如下图所示



设双目相机在 x 轴方向上的距离为 t_x , 称为**基线 (baseline)**. 将相机编号为 1, 2, 以相机 1 作为坐标系原点, 空间中物体位于 $\mathbf{x}_w(X, Y, Z)$, 在两个相机上的像点分别为 $\mathbf{x}^{(1)}(x_1, y_1), \mathbf{x}^{(2)}(x_2, y_2)$, 由成像原理可知:

$$\mathbf{x}^{(1)} \equiv [I \quad 0] \begin{bmatrix} \mathbf{x}_w \\ 1 \end{bmatrix}, \quad \mathbf{x}^{(2)} \equiv [I \quad t_x] \begin{bmatrix} \mathbf{x}_w \\ 1 \end{bmatrix}, \quad (3.4)$$

$$\begin{bmatrix} x_1 \\ y_1 \end{bmatrix} \equiv \begin{bmatrix} 1 & 0 & 0 & 0 \\ 0 & 1 & 0 & 0 \\ 0 & 0 & 1 & 0 \end{bmatrix} \begin{bmatrix} X \\ Y \\ Z \\ 1 \end{bmatrix} = \begin{bmatrix} X \\ Y \\ Z \end{bmatrix}, \quad \begin{bmatrix} x_2 \\ y_2 \end{bmatrix} \equiv \begin{bmatrix} 1 & 0 & 0 & t_x \\ 0 & 1 & 0 & 0 \\ 0 & 0 & 1 & 0 \end{bmatrix} \begin{bmatrix} X \\ Y \\ Z \\ 1 \end{bmatrix} = \begin{bmatrix} X + t_x \\ Y \\ Z \end{bmatrix},$$

于是 $x_1 = \frac{X}{Z}, x_2 = \frac{X + t_x}{Z}, y_1 = y_2 = \frac{Y}{Z}$, 则 $x_2 - x_1 = \frac{t_x}{Z} \Rightarrow Z = \frac{t_x}{x_2 - x_1} = \frac{t_x}{d}$. 其中 $d = x_2 - x_1$

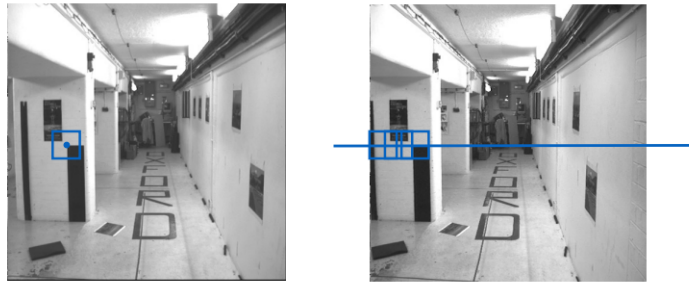
称为**视差 (disparity)** 表示同一物体在两个图像上对应像素点之间的 x 轴方向距离, Z 称为**景深 (depth)** 表示物体距离相机的距离, t_x 为**基线 (baseline)**. 如果我们得到了 d , 由于 t_x 已知, 于是可得景深 Z . (上述推导中默认了内参矩阵 K 为单位阵, 否则表达式中还需加入焦距 $Z = \frac{ft_x}{d}$)

3.5.2 视差估计

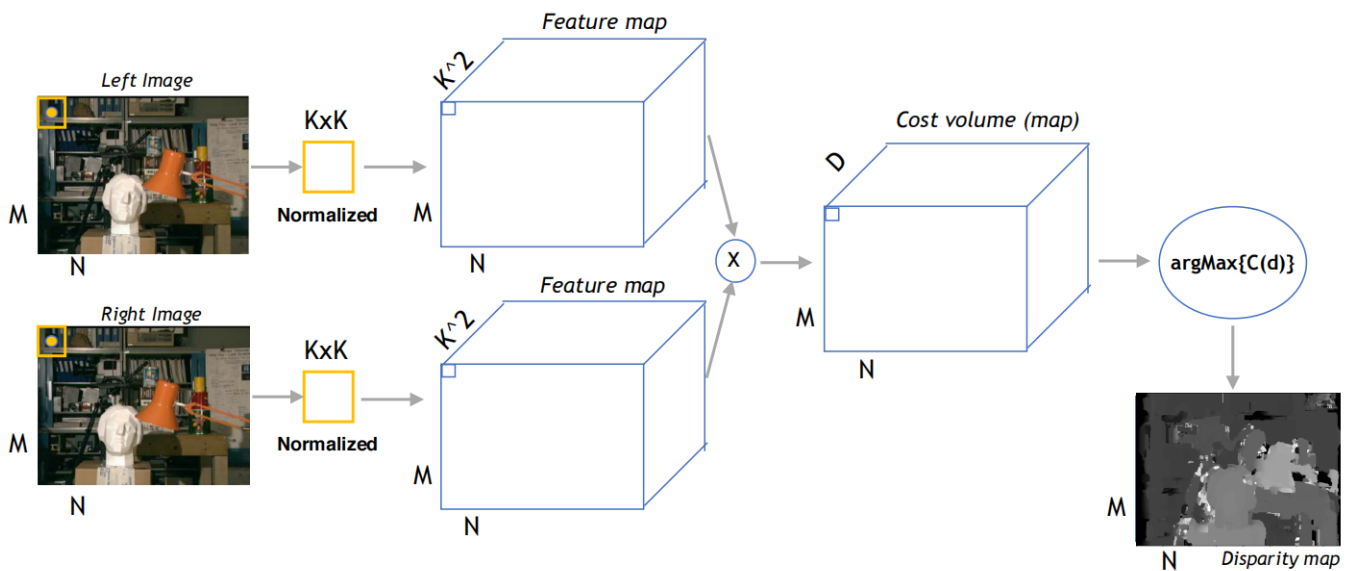
由于假设相机位于统一水平面上, 所以拍摄出的图像仅在 x 轴方向上发生小范围移动 (近处移动大、远处移动小), 使用**横向滑动窗口方法匹配相似点**. 设两个相机拍摄统一物体得到的图像分别为 f, g , 对于 f 中的像素点 (x_1, y_1) , 只需在 g 中 $y = y_1$ 的水平线上寻找相似点, 若 (x_1, y_1) 与 $(x_1 + d, y_1)$ 周围图像近似, 则可认为 (x_1, y_1) 处的视差为 d . 用 NCC 判断相似性大小.

设总共有 D 种可能的视差, 窗口大小为 $k \times k$, 具体步骤如下:

1. 考虑 f 中的像素点 (x_1, y_1) , 以 (x_1, y_1) 为中心大小为 $k \times k$ 的窗口, 以窗口内的像素值集合 X 作为 (x_1, y_1) 处的特征描述子;
2. 选取可能的视差 $d \in D$, 取 g 中以 $(x_1 + d, y_1)$ 为中心的大小为 $k \times k$ 的特征描述子 Y ;
3. 计算 $NCC(X, Y)$ (归一化互相关), 若 NCC 相似度大于最优值, 记录视差 d ;
4. 重复步骤 2,3, 知道遍历完所有视差 d .
5. 用最终记录的最优视差 d 作为 (x_1, y_1) 处的视差, 计算出该处的景深 $Z = \frac{t_c}{d}$.



另一种描述方法: 求出特征描述子张量 $M \times N \times K^2$, 表示每个像素点对应的窗口特征描述子, **NCC 成本张量 (NCC cost volume)** 大小为 $M \times N \times D$, 其中 (x, y, d) 表示 $f(x, y), g(x + d, y)$ 对应特征描述子的 NCC 相似度, 最后对 NCC 成本张量的第三维求最大值即可得到每个像素点处的视差. 如下图所示:



图像校正 即使两个相机在同一平面上拍摄时, 拍摄出的图像仍可能无法保证 x 轴是对齐的, 先找到搜索点的**对极线**, 将对极线旋转至与 x 轴平行, 再做视差估计 (对极线内容请见下文)

总的来说, 立体重建分为四步: **1. 相机标定; 2. 图像校正; 3. 计算视差; 4. 估计景深.**

3.6 对极几何

3.6.1 基本概念

基线：两个相机入射瞳孔光心构成的连线；

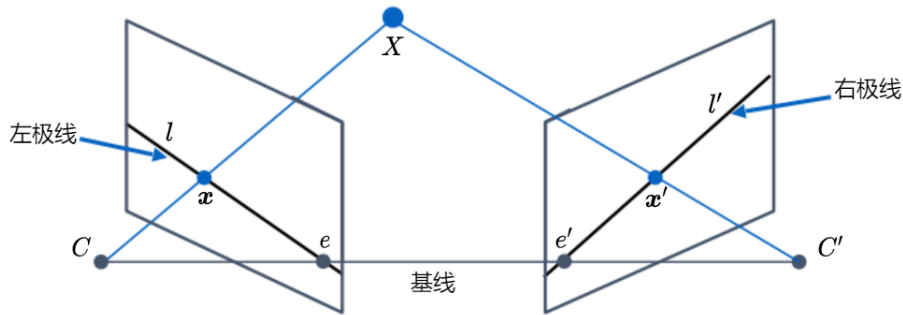
极点：基线与成像平面的交点 e, e' ；

对应点：三维空间中点 X 在两个不同成像平面上的像点 x, x' ；

极线：像点与极点构成的直线， l 为左极线， l' 为右极线。

对极约束：将对应点搜索问题转化为对极线上搜索问题。（可以解决视差估计中图像不对齐的搜索问题）

性质：三维空间中物体 X 移动，只有极线和成像点发生变化。左平面上像点 x 可唯一对应一条右极线 l' ，且右像点 x' 一定落在 l' 上（反之亦然）。固定相机位置，无论如何移动 X ，均有左极线一定过左极点 e ，右极线一定过右极点 e' 。



3.6.2 本质矩阵与基础矩阵

设空间中物体位于 x_w ，由相机成像原理可知

$$x_{img}^{(1)} \equiv K_1[R \ t_1]x_w, \quad x_{img}^{(2)} \equiv K_2[R \ t_2]x_w$$

先假设内参矩阵 K_1, K_2 为单位阵，以相机 1 作为坐标系原点， x'_w 为 x_w 的齐次坐标，则

$$x_{img}^{(1)} \equiv [I \ 0]x'_w = x_w, \quad x_{img}^{(2)} \equiv [R \ t]x'_w = Rx_w + t,$$

双目相机原理式 (3.4) 是上式的特殊形式。

将左式代入右式可得 $x_{img}^{(2)} \equiv Rx_{img}^{(1)} + t$ ，再左右作外积 $x_{img}^{(2)} \cdot t$ 可得

$$x_{img}^{(2)} \cdot t \times Rx_{img}^{(1)} = 0$$

由于外积可写做矩阵乘法形式： $t \times R = [t]_{\times} R$ ，其中 $[t]_{\times} = \begin{bmatrix} 0 & -t_z & t_y \\ t_z & 0 & -t_x \\ -t_y & t_x & 0 \end{bmatrix}$ 称为 t 的反对称矩阵。由于向量内积可以表示为矩阵乘法形式 $x \cdot y = x^T y$ ，于是可以进一步改写上式：

$$x_{img}^{(2)T} [t]_{\times} R x_{img}^{(1)} = 0 \Rightarrow x_{img}^{(2)T} E x_{img}^{(1)} = 0$$

其中 $E = [t]_{\times} R$ 称为本质矩阵，由相机的相对位置决定。

当 K_1, K_2 为一般情况时，则

$$x_{img}^{(1)} \equiv K_1 x_w, \quad x_{img}^{(2)} \equiv K_2 [R \ t] x_w$$

经过上述类似推导可得

$$\mathbf{x}_{img}^{(2)T} K_2^{-1} [t]_{\times} R K_1^{-1} \mathbf{x}_{img}^{(1)} = \mathbf{0} \Rightarrow \mathbf{x}_{img}^{(2)T} F \mathbf{x}_{img}^{(1)} = \mathbf{0}$$

其中 $F = K_2^{-1} [t]_{\times} R K_1^{-1}$ 称为**基础矩阵**.

极线与极点性质解释 以本质矩阵为例, 假设固定 $\mathbf{x}_{img}^{(1)}$, 令 $\mathbf{l} = E \mathbf{x}_{img}^{(1)}$, 于是 $\mathbf{x}_{img}^{(2)T} \mathbf{l} = \mathbf{0}$, 则 \mathbf{l} 确定了相机 2 的成像平面上的一条直线, 这就是由 $\mathbf{x}_{img}^{(1)}$ 对应的极线 $E \mathbf{x}_{img}^{(1)}$. 类似地, 固定 $\mathbf{x}_{img}^{(2)}$ 也可以在相机 1 的成像平面上导出对应的极线 $E^T \mathbf{x}_{img}^{(2)}$ (对极线).

令 $\mathbf{e}' = \mathbf{t}$, 则 $\mathbf{e}'^T E = \mathbf{t}^T [t]_{\times} R = \mathbf{t} \cdot \mathbf{t} \times R = \mathbf{0}$, 于是 $\mathbf{e}'^T E \mathbf{x}_{img}^{(1)} = \mathbf{e}'^T \mathbf{l} = \mathbf{0}$, ($\forall \mathbf{l}$), 所以相机 2 的全部极线都经过点 \mathbf{e}' , 则 \mathbf{e}' 是相机 2 的极点. 类似地, 令 $\mathbf{e} = R^T \mathbf{t}$, 可得 \mathbf{e} 是相机 1 的极点.

在内参 K_1, K_2 为一般情况下, 也就是对于基础矩阵 F , 也有对极线 $F \mathbf{x}_{img}^{(1)}, F^T \mathbf{x}_{img}^{(1)}$, 极点满足 $\mathbf{e}'^T F = \mathbf{0}, E \mathbf{e} = \mathbf{0}$, 由于 $F \in \mathbb{R}^{3 \times 3}$, 所以 F 的阶数应该为 2 阶. (这个性质常用于在计算中校准 F 矩阵)

8 点法估计 F 矩阵 (复习内容中没有包含, 大致讲解原理) 若不清楚相机内参数 K_1, K_2, R, t 则可通过对应点直接反解 F 矩阵. 对应点满足的方程为 $\mathbf{x}'^T F \mathbf{x} = 0$, 其中 \mathbf{x}' 与 \mathbf{x} 对应. 由于 F 的自由度为 8, 每个对应点只能提供一个方程, 所以至少需要 8 个对应点. 也可使用最小二乘法或 SVD 分解求解.

求解出的 F 的秩可能不为 2, 通过 SVD 分解令第三个特征值为 0, 再恢复 F 矩阵.

3.7 运动场与光流场

3.7.1 运动场

令空间中物体位于 $P(X, Y, Z)$, 对应的像点为 $p(x, y, f)$, 其中 f 表示相机焦距. 由针孔成像原理, 有 $p = \frac{f}{Z} P$.

考虑物体位置随时间发生变换, 则 $P = P(t), p = p(t)$, 设空间中物体的位移相对速度为 $\frac{dP}{dt} = V = -\mathbf{t} - \mathbf{w} \times P$, 其中 $\mathbf{t} = (t_x, t_y, t_z)^T$ 为平移向量, $\mathbf{w} = (w_x, w_y, w_z)^T$ 为旋转向量. 则空间相对速度的各维度分量为

$$\begin{cases} V_x = -t_x - w_y Z + w_z Y, \\ V_y = -t_y - w_z X + w_x Z, \\ V_z = -t_z - w_x Y + w_y X. \end{cases} \quad (3.5)$$

像点相对速度为 $\mathbf{v} = \frac{dp}{dt} = \frac{d \frac{fP}{Z}}{dt} = \frac{fVZ - fPV_z}{Z^2} = f \frac{V}{Z} - p \frac{V_z}{Z}$, 令

$$\begin{cases} u = \mathbf{v}_x = f \frac{V_x}{Z} - x \frac{V_z}{Z}, \\ v = \mathbf{v}_y = f \frac{V_y}{Z} - y \frac{V_z}{Z}, \\ \mathbf{v}_z = f \frac{V_z}{Z} - f \frac{V_z}{Z} = 0. \end{cases} \quad (3.6)$$

将式 (3.5) 代入式 (3.6) 中, 并利用 $Y = \frac{Z}{f}y, X = \frac{Z}{f}x$ 可得运动场方程 (Motion Field)

$$\begin{cases} \text{平移部分} & \text{旋转部分} \\ u = \frac{xt_z - ft_x}{Z} + \frac{xy}{f}w_x - (f + \frac{x^2}{f})w_y + yw_z, \\ v = \frac{yt_z - ft_y}{Z} + (f + \frac{y^2}{f})w_x - \frac{xy}{f}w_y + xw_z. \end{cases}$$

上述方程由两部分构成, 一个为平移部分, 另一个为旋转部分, 注意到旋转部分与深度 Z 无关. 运动场方程还可以写成矩阵的形式

$$\begin{bmatrix} u \\ v \end{bmatrix} = \frac{1}{Z} \begin{bmatrix} -f & 0 & x \\ 0 & -f & y \end{bmatrix} \begin{bmatrix} t_x \\ t_y \\ t_z \end{bmatrix} + \begin{bmatrix} \frac{xy}{f} & -f - \frac{x^2}{f} & y \\ f + \frac{y^2}{f} & -\frac{xy}{f} & x \end{bmatrix} \begin{bmatrix} w_x \\ w_y \\ w_z \end{bmatrix} =: \frac{1}{Z}A\mathbf{t} + B\mathbf{w}$$

平移运动场 (Translational field) 只考虑物体做平移运动, 令 $\mathbf{w} = \mathbf{0}$, 当 $t_z \neq 0$ 时, 有

$$\begin{cases} u = \frac{t_z}{Z}(x - \frac{ft_x}{t_z}), \\ v = \frac{t_z}{Z}(y - \frac{ft_y}{t_z}). \end{cases}$$

于是上述方程有不动点 $(\frac{ft_x}{t_z}, \frac{ft_y}{t_z})$, 该点称为 **FOE(focus of expansion)** 点, 表示物体做带有深度变换的平移时, 像点运动的相对速度向量 MF 会以 FOE 点作为中心, 向外呈放射状, 或者向内呈收缩状.

当 $t_z = 0$ 时, 有

$$\begin{cases} u = -\frac{ft_x}{Z}, \\ v = -\frac{ft_y}{Z}. \end{cases}$$

于是 FOE 点位于 (∞, ∞) , 相对速度向量 MF 相互平行.

仅考虑平移运动时, 相对速度向量 MF 都与深度 Z 成反比关系.

3.7.2 光流场

定义 6 (光流向量). 光流场是图像中亮度模式的表现运动.

在理想条件下, 光流场与运动场相同. 需要注意的是, 如果物体没有运动, 光照的变换也有可能使光流场发生变换. 所以需要加入以下三条**光流约束**:

1. **亮度恒常性 (Brightness constancy):** 两个相邻的亮度不会发生变化.
2. **微小运动 (Small motion):** 物体运动距离不大.
3. **空间相关性 (Spatial coherence):** 相邻点具有相同的运动方向.

3.7.3 Lucas-Kanade 光流算法

Lucas-Kanade 光流算法也简称为 L-K 光流算法, 设图像为 $I(\cdot)$, 由亮度恒常性可得

$$\begin{aligned} I(x, y, t-1) &= I(x+u(x, y), y+v(x, y), t) \approx u(x, y)I_x + v(x, y)I_y + I(x, y, t) \\ \Rightarrow uI_x + vI_y + I_t &\approx 0 \end{aligned}$$

令 Ω 为 (x_0, y_0) 的一个小邻域，内部点具有相同的光流向量，定义均方损失函数，则

$$\begin{aligned}
 E(u, v) &= \sum_{(x,y) \in \Omega} w(x, y) (uI_x + vI_y + I_t)^2 \\
 &= \sum_{(x,y) \in \Omega} w(x, y) \left(\begin{bmatrix} I_x & I_y & I_t \end{bmatrix} \begin{bmatrix} u \\ v \\ 1 \end{bmatrix} \right)^2 \\
 &= \sum_{(x,y) \in \Omega} w(x, y) \begin{bmatrix} u & v & 1 \end{bmatrix} \begin{bmatrix} I_x^2 & I_x I_y & I_x I_t \\ I_y I_x & I_y^2 & I_y I_t \\ I_t I_x & I_t I_y & I_t^2 \end{bmatrix} \begin{bmatrix} u \\ v \\ 1 \end{bmatrix}
 \end{aligned}$$

其中 $w(x, y)$ 表示 Gauss 核 G_σ ，于是

$$\begin{aligned}
 \frac{\partial E(u, v)}{\partial(u, v)} = 0 &\Rightarrow \sum_{(x,y) \in \Omega} w(x, y) \begin{bmatrix} I_x^2 & I_x I_y \\ I_y I_x & I_y^2 \end{bmatrix} \begin{bmatrix} u \\ v \end{bmatrix} = - \sum_{(x,y) \in \Omega} w(x, y) \begin{bmatrix} I_x I_t \\ I_y I_t \end{bmatrix} \\
 &\Rightarrow G_\sigma * \begin{bmatrix} I_x^2 & I_x I_y \\ I_y I_x & I_y^2 \end{bmatrix} \begin{bmatrix} u \\ v \end{bmatrix} = -G_\sigma * \begin{bmatrix} I_x I_t \\ I_y I_t \end{bmatrix}
 \end{aligned}$$

通过最小二乘法即可解出 (u, v) ，得到 (x_0, y_0) 处的光流向量。

Coarse-to-fine 光流估计 Coarse-to-fine 光流估计是对 L-K 算法的改进，由于需要满足亮度恒常性条件，所以物体的移动不能太大，对两幅图像 $I(x, y, t-1)$ 和 $I(x, y, t)$ 来那个幅图像利用 Gauss 金字塔进行缩放，对每一层处对应图像做 L-K 算法，选取效果最好的一组。如下图所示：

